

大成建設 正員 ○寺本 哲  
 東京工業大学 正員 稲垣 陸  
 東京工業大学 正員 姫野 順治

### 1. 考え方

アスファルト舗装の主要な破壊形態のひとつである疲労破壊については、従来から数多くの研究が行われておらず、疲労寿命に関する破壊基準、予測法もこれまでに種々のものが提案されている。しかしながら、これらはすべて供試体に対する曲げ疲労試験結果に基づいており、ひずみ波形や支持層反力の有無などの点でこれらの試験は実際の舗装における条件と相違しており、その結果を用いた寿命予測の精度には検討を加える必要があると思われる。以上のことから本研究は、弾性床上に設置したスライド状アスファルト混合物供試体に対して低温( $15^{\circ}\text{C}$ ,  $20^{\circ}\text{C}$ )でホイールトラック試験を実施し、支持層からの反力、走行する輪荷重からの外力という現場の舗装に近い条件を実験室内に再現し、このときのアスファルト混合物の疲労破壊特性およびひずみ制御の曲げ疲労試験結果を用いた疲労寿命予測法との対応を明らかにすることを試みた。

### 2. 実験概要

実験条件を表-1に示した。

試験は、恒温室内に設置されたホイールトラック試験を用い、供試体は現場の条件に近づけるため、長さ $40\text{cm}$ 、幅 $30\text{cm}$ 、深さ $8.2\text{cm}$ のモールド内に高さ $5.2\text{cm}$ のゴム層および高さ $3\text{cm}$ の骨材最大粒径 $13\text{mm}$ の密粒度アスファルト混合物層を設置し、2層構造を作成した。また、車輪軌跡に平行な供試体端部には、スライドの変位 $\varepsilon$ 拘束した。これらの条件はアスファルト層下面に生ずる水平方向引張ひずみ振幅の値が約 $200 \sim 1000 \mu$ 程度になるように考慮し決定したものである。

また、アスファルト混合物層下面車輪軌跡直下の各点におけるひびきゲージをはり、試験中輪荷重の通過により発生するひびき波形を測定した。これと同時に試験中の供試体上下面におけるひびわれの発生、成長の過程を観測し、荷重くり返し回数、ひずみ振幅と対応させた。

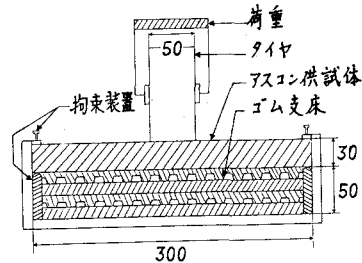


図-1 実験装置

アスファルト混合物スラブ寸法		$40\text{cm} \times 30\text{cm} \times 3\text{cm}$
ゴム支床	高さ	5.2 cm
	弹性係数	250 kg/cm <sup>2</sup>
タイヤの種類		ソリッド( $\phi 20\text{cm} \times 5\text{cm}$ )
輪荷重	102 kg	
接地圧	7.98, 9.36 kg/cm <sup>2</sup>	
走行速度	50 pass/min.	
タイヤ軌跡長さ	35 cm	
試験温度	15, 20 °C	

表-1 実験条件

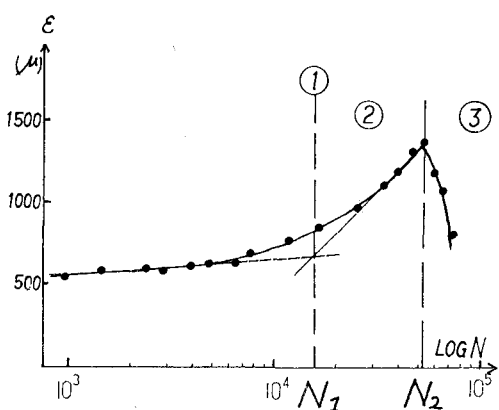


図-2 ひずみ振幅の変化

### 3. 実験結果

ひびきゲージによるひびき波形の測定の結果、アスファルト供試体下面においては、常に引張側である振幅をもつてゆる片振りのひびき波形をもつことが判明した。これは現実の舗装においてアスファルト層下面に発生しているひびき波形と類似したものであると思われる。このようにひびき波形の1周期の最大値と最小値の差をひびき振動量  $\Delta A$  とすると、 $\Delta A$  は図-2に示すように、一般に載荷回数の累積に伴い徐々に増加し、あるところからその増加率が変化し、ピークを迎えた後に減少を始めることが観察された。このように  $\Delta A$  の変化は、ひびわれの発生、成長の過程と密接に対応していることが観察された。すなわち図-2の①の段階ではゲージ付近におけるひびわれが発生しておらず、②の段階では、ゲージ付近における車輪軌跡方向にひびわれが生じ、③のピーク直前ではこのひびわれが発達とともに横断方向にも伸びはじめ、④のピーク以後の段階ではこれらが互いに結合していゆるアリヤーナーラックを形成するに至っている。

### 4. 理論的検討

本研究では、②のように供試体下面にひびわれが発生する時点と対応するとと思われる点を  $N_1$ 、アスコン層が構造的に機能を失いつつあると思われるピーク点を  $N_2$  とし、これらと初期ひびき振幅レベルとの関係にまとめると図-3のようになり、また両者の関係は面対数アラフ上で直線関係にあり、温度の変化、すなわち混合物のスティフネスの変化とともに二つの直線の位置が変化することが明らかにした。すなわち、供試体の破壊点としては、先述のようす構造的に機能といふことを考慮すれば  $N_2$  の方が適当であると思われる。

また、本研究では別に両振りひびき制御曲げ疲労試験を実施し図-4のようす疲労破壊包絡線を作成し、これを用いて舗装の疲労寿命予測法を適用し、本実験の疲労回数を推定した。この際、本試験における応力に関する測定データが得られており、弾性理論に基づく有限要素解析によりアスファルト層下面の応力を推定した。このようす計算結果の推定値は図-4に同時に示したように、ほぼ  $N_2$  の集まりの上に乗っており、本予測ひびき波形等の点で異なった条件をもつ室内疲労試験に基づく手法であるにもかかわらず、ほぼ妥当な疲労寿命を与えることが判明した。

### 5. あとがき

今後、試験データを蓄積し、現場の舗装の条件における混合物の疲労破壊について明らかにしてゆくことを望まれる。一方、本研究は、昭和57年度、58年度科学的研究費補助金の交付を受けて実施したものである。

[参考文献] W. Van Dijk, "Practical Fatigue Characterization of Bituminous Mixes", AAPT, 1975, pp38

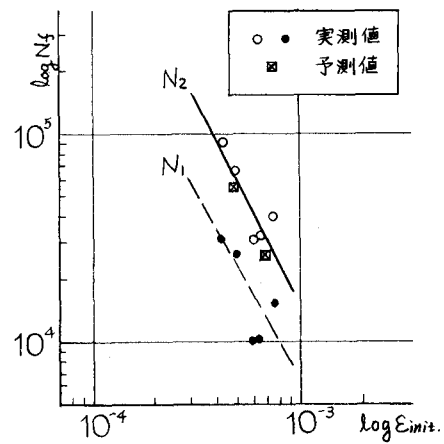


図-3  $\varepsilon_{init.} \sim N_f$  関係 ( $20^{\circ}\text{C}$ )

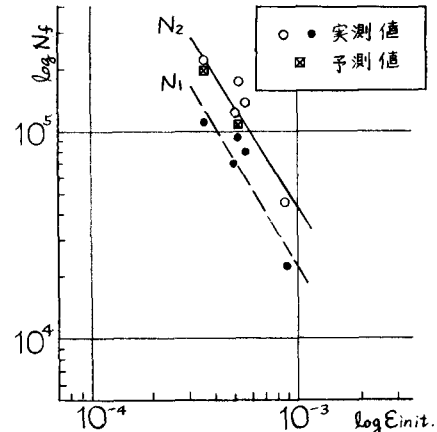


図-4  $\varepsilon_{init.} \sim N_f$  関係 ( $15^{\circ}\text{C}$ )

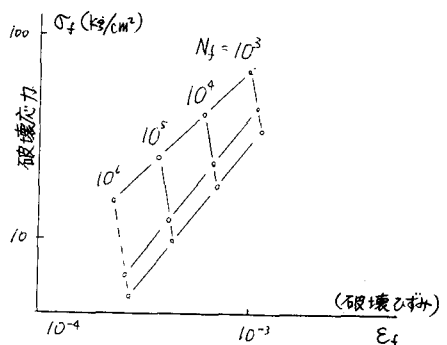


図-5 疲労破壊包絡線